# Équations sous-elliptiques : contrôle, singularités et théorie spectrale

#### Cyril Letrouit

Laboratoire Jacques-Louis Lions

Soutenance de thèse 4 octobre 2021







#### Introduction

Objectif - Étudier des phénomènes de propagation dans les équations sous-elliptiques : propagation de l'énergie, des singularités, des mesures de défaut, . . . et établir des liens avec la géométrie sous-Riemannienne (correspondance classique/quantique).

Motivation - L'étude des équations sous-elliptiques s'est faite principalement de 1960 à 1990 et elle n'a pas suffisamment bénéficié du développement de la géométrie sous-Riemannienne (de 1990 à aujourd'hui). Exemple de question : les minimiseurs anormaux, découverts au début des années 1990, jouent-ils un rôle dans les phénomènes de propagation des équations sous-elliptiques?

Plan de l'exposé - 1. Sous-Laplaciens. 2. Propagation de l'énergie.

3. Propagation des singularités. 4. Théorie spectrale de sous-Laplaciens.



$$\frac{\partial^2 u}{\partial x^2} + x \frac{\partial u}{\partial y} - \frac{\partial u}{\partial t} = f$$



- *M* une variété lisse, compacte, connexe de dimension *n*
- $X_1, \ldots, X_m$  des **champs de vecteurs** lisses sur M (pas nécessairement indépendants) tels que

$$Lie(X_1,\ldots,X_m)=TM$$

(condition de Hörmander).

•  $\mu$  un **volume** lisse sur M.

Alors le sous-Laplacien s'écrit

Sous-Laplaciens

$$\Delta = -\sum_{i=1}^{m} X_i^* X_i = \sum_{i=1}^{m} X_i^2 + \operatorname{div}_{\mu}(X_i) X_i,$$

où l'étoile est la transposition dans  $L^2(M, \mu)$ .

Il s'agit d'une généralisation du Laplacien Euclidien et de l'opérateur de Laplace-Beltrami sur les variétés Riemanniennes ([Hörmander 1967], [Rothschild-Stein 1976]).

### Exemples de sous-Laplaciens

• **Heisenberg.** Champs  $X_1 = \partial_x$  et  $X_2 = \partial_y - x\partial_z$  dans  $\mathbb{R}^3$  et  $\mu = dxdydz$ :  $\Delta = \partial_x^2 + (\partial_y - x\partial_z)^2$ 

$$\Delta = O_X + (O_Y - I_Y)$$

Ici, 
$$[X_1, X_2] = -\partial_z$$
.

• Martinet. Champs  $X_1 = \partial_x$  et  $X_2 = \partial_y + x^2 \partial_z$  dans  $\mathbb{R}^3$  et  $\mu = dxdydz$ :

$$\Delta = \partial_x^2 + (\partial_y + x^2 \partial_z)^2.$$

Ici, 
$$[X_1, X_2] = 2x\partial_z$$
 et  $[X_1, [X_1, X_2]] = 2\partial_z$ .

• ...

### Hypoellipticité et sous-ellipticité

Les sous-Laplaciens sont **hypoelliptiques**, ce qui signifie que si V est un ouvert et  $\Delta u \in C^{\infty}(V)$ , alors  $u \in C^{\infty}(V)$ .

Les sous-Laplaciens satisfont aussi des inégalités de sous-ellipticité :

$$||u||_{H^{2/k}} \leq C(||u||_{L^2} + ||\Delta u||_{L^2}).$$

Le k qui apparaît est le **degré de non-holonomie**, nous allons le définir tout de suite. C'est une mesure du "degré de sous-ellipticité".

#### Distribution sous-Riemannienne

On appelle

Sous-Laplaciens

$$\mathcal{D} = \mathsf{Vect}(X_1, \dots, X_m) \subset TM$$

la distribution. Elle n'est pas forcément de rang (dimension) constant.

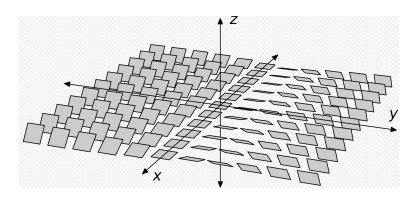
On pose 
$$\mathcal{D}^0=\{0\}$$
,  $\mathcal{D}^1=\mathcal{D}$  et, pour  $\ell\geq 2$ ,

$$\mathcal{D}^\ell = \mathcal{D}^{\ell-1} + [\mathcal{D}, \mathcal{D}^{\ell-1}].$$

Ceci définit un **drapeau** en tout point  $q \in M$ 

$$\{0\} = \mathcal{D}_q^0 \subseteq \mathcal{D}_q^1 \subset \ldots \subsetneq \mathcal{D}_q^{k(q)} = T_q M$$

Sous la condition de Hörmander, le théorème de Chow-Rashevsky (1937) stipule que, pour tous  $q, q' \in M$ , il existe un chemin tangent à  $\mathcal{D}$ reliant  $q \ a \ a'$ .



### Questions abordées dans la thèse

Dans cette thèse, on s'intéresse à

1 la **propagation de l'énergie** dans les équations linéaires suivantes (avec sous-Laplacien) :

$$\partial_{tt}^2 u - \Delta u = 0$$
 (Ondes) 
$$i\partial_t u + \frac{1}{2}\Delta u + Vu = 0.$$
 (Schrödinger)

On étudie le problème de l'**observabilité** ( $\Leftrightarrow$  contrôlabilité) de ces équations.

- 2 la propagation des singularités dans ces mêmes équations.
- la propagation (ou l'invariance) des mesures de défaut associées aux fonctions propres des sous-Laplaciens.
- → correspondance entre aspects **classiques** (géométrie sous-Riemannienne) et aspects **quantiques** (opérateurs sous-elliptiques).
- ightarrow une même idée : étudier le cône  $\{\sigma_P(\Delta)=0\}\subset T^*M$ .

#### **Premier problème** - Observabilité

Le problème de l'observabilité (exacte) est le suivant : étant donné  $\omega \subset M$  mesurable et  $T_0 > 0$  un temps, est-ce que toute solution u de l'équation que l'on considère (ondes ou Schrödinger) vérifie

$$\mathscr{E}_{(0,T_0),\omega}(u) \geq C\mathscr{E}_{(0,T_0),M}(u)$$

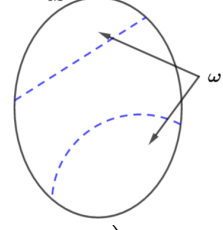
où C > 0 est indépendant de u? [Lions 1988].

#### Plan de cette partie :

- Observabilité des ondes sous-elliptiques :
- Observabilité de Schrödinger sous-elliptique.

#### Définition.

L'équation des ondes est (exactement) observable sur  $\omega$  en temps  $T_0$  s'il existe une constante  $C_{T_0}(\omega) > 0$ telle que toute solution u de l'équation des ondes satisfait



$$\int_0^{T_0} \int_{\omega} |\partial_t u(t,x)|^2 d\mu(x) dt \geq C_{T_0}(\omega) \left( \|\partial_t u_{|t=0}\|_{L^2}^2 + \sum_{j=1}^m \|X_j u_{|t=0}\|_{L^2}^2 \right).$$

#### Les équations d'ondes sous-elliptiques ne sont jamais observables

#### Théorème ([L. 2020])

Soit  $\omega \subset M$  un ensemble mesurable. On suppose que  $M \setminus \omega$  contient dans son intérieur un point q tel qu'il existe  $1 \le i, j \le m$ ,

$$[X_i,X_j](q)\notin \operatorname{Vect}(X_1(q),\ldots,X_m(q))=\mathcal{D}_q.$$

Alors quel que soit  $T_0 > 0$ , l'équation des ondes sous-elliptique **n'est pas** exactement observable sur  $\omega$  en temps  $T_0$ .

**Idée :** Utiliser des courbes Hamiltoniennes qui ne rencontrent pas  $\omega$ .

On introduit le **symbole principal** du sous-Laplacien (=le Hamiltonien)

$$g^* = \sigma_P(-\Delta) \in C^{\infty}(T^*M).$$

Le symbole principal de l'opérateur des ondes  $\partial_t^2 - \Delta$  est

$$p = -\tau^2 + g^* \in C^{\infty}(T^*(\mathbb{R} \times M)).$$

Le champ de vecteurs Hamiltonien associé à  $g^*$  (resp. p) est  $\vec{g}^*$  (resp.  $\vec{p}$ ).

**Définition.** Une géodésique normale (parcourue à vitesse 1) est la projection d'une courbe intégrale du champ Hamiltonien :

$$t\mapsto x(t)=\pi(e^{t\vec{g}^*}\lambda_0)$$

où  $\lambda_0 \in S^*M$ ,  $g^*(\lambda_0) = 1/4$ , et  $\pi : T^*M \to M$  est la proj. canonique.

**Lemme.** Sous les hypothèses du théorème,  $\forall T_0 > 0$ , il existe une géodésique normale qui ne rencontre pas  $\overline{\omega}$  sur l'intervalle  $(0, T_0)$ .

Autrement dit, la condition de contrôle géométrique de [Bardos-Lebeau-Rauch 1992] n'est pas vérifiée.

**Conclusion de la preuve.** On choisit une géodésique normale x(t) qui ne rencontre pas  $\overline{\omega}$  dans l'intervalle  $(0, T_0)$ . Puis on construit une suite de solutions  $v_k$  dont l'énergie se concentre sur x. Cette construction est une adaptation directe des Gaussian beams [Ralston 1982], car on travaille dans  $\{g^* \neq 0\}$ , la partie du cotangent où  $\Delta$  est "elliptique". Ceci nie l'observabilité car

$$\frac{\int_0^{T_0} \int_{\omega} |\partial_t v_k(t,x)|^2 d\mu(x) dt}{\|\nabla^{\mathrm{sR}} v_{k,0}\|_{L^2}^2 + \|v_{k,1}\|_{L^2}^2} \underset{k \to +\infty}{\longrightarrow} 0.$$

## Comment trouver une géodésique qui ne rencontre pas $\overline{\omega}$ ?

**Proposition.** Soit q tel que  $[X_i, X_i](q) \notin \text{Vect}(X_1(q), \dots, X_m(q)) = \mathcal{D}_a$ . Alors,  $\forall T_0 > 0$  et pour tout voisinage V de q dans M, il existe une géodésique normale  $t \mapsto x(t)$  parcourue à vitesse 1 telle que  $x(t) \in V$ pour tout  $t \in (0, T_0)$ .

**Remarque.** En choisissant un tel q dans l'intérieur de  $M \setminus \omega$ , et  $V \subset M \setminus \overline{\omega}$ , on obtient une géodésique normale qui ne rencontre pas  $\overline{\omega}$ .

**Exemple (Heisenberg).**  $X_1 = \partial_{x_1}$  et  $X_2 = \partial_{x_2} - x_1 \partial_{x_3}$ , et  $\Delta = X_1^2 + X_2^2$ . On a  $g^* = \xi_1^2 + (\xi_2 - x_1 \xi_3)^2$ . On choisit la condition initiale x(0) = 0 et  $\xi(0) = (1/2, 0, 1/2\varepsilon)$ , donc  $g^* = \frac{1}{4}$ . Pour  $\varepsilon > 0$ , on trouve une géod.

 $x_1(t) = \varepsilon \sin(t/\varepsilon)$ 

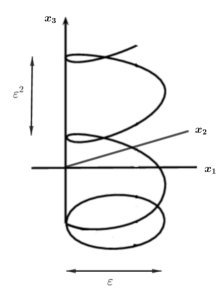
$$x_1(t) = \varepsilon \sin(t/\varepsilon)$$

$$x_2(t) = \varepsilon \cos(t/\varepsilon) - \varepsilon$$

$$x_3(t) = \varepsilon(t/2 - \varepsilon \sin(2t/\varepsilon)/4)$$

Plus  $\varepsilon$  est petit, plus la géodésique reste proche de son point de départ.

Preuve de la prop. Nilpotentisation, puis restriction au cas où les crochets de longueur > 3 s'annulent, puis preuve dans ce cas simple en "isolant un axe  $x_3$ ".





Des bambous sous-Riemanniens!

### Observabilité de Schrödinger sous-elliptique

On met en regard deux phénomènes :

- La sous-ellipticité fait "ralentir" la propagation de l'énergie des ondes;
- Pour l'équation de Schrödinger "usuelle" (sur une variété Riemannienne), il y a propagation à vitesse infinie de l'énergie.

Question. Est-ce que dans une équation de Schrödinger sous-elliptique, la propagation pourrait aussi ralentir et se faire à vitesse finie, voire à vitesse nulle? La réponse est : OUI. [Burq-Sun 2020], [L.-Sun 2020], [Fermanian-L. 2021].

Ces résultats d'observabilité pour l'équation de Schrödinger ne sont valides que dans des variétés particulières.

Dans la suite, nous décrivons la principale idée de [Fermanian-L. 2021], qui peut se résumer ainsi (voir aussi [Bahouri-Gérard-Xu 2000]) :

l'équation de Schrödinger sur un groupe de Heisenberg se décompose en une superposition d'équations de transport avec des vitesses différentes.

#### Mesures semiclassiques non-commutatives

On considère V un potentiel analytique sur M ( $\approx$  quotient du groupe de Heisenberg  $G = \mathbb{H}_d$ ) et l'équation de Schrödinger sur M

$$i\partial_t u + \frac{1}{2}\Delta_M u + Vu = 0. (1)$$

De toute suite  $(u^{\varepsilon})_{{\varepsilon}>0}$  bornée dans  $L^{\infty}(\mathbb{R},L^2(M))$  on peut extraire une sous-suite telle que pour tout  $\theta \in L^1(\mathbb{R})$  et tout symbole  $\sigma$ , on a

$$\int_{\mathbb{R}} \theta(t) (\operatorname{Op}_{\varepsilon_k}(\sigma) u^{\varepsilon_k}(t), u^{\varepsilon_k}(t))_{L^2(M)} dt \xrightarrow[k \to +\infty]{} \int_{\mathbb{R} \times M \times \widehat{G}} \theta(t) \operatorname{Tr}(\sigma(x, \lambda) \Gamma_t(x, \lambda)) d\gamma_t(x, \lambda) dt.$$

Si  $(u^{\varepsilon})_{\varepsilon>0}$  est une famille de solutions de (1), on a

$$\Gamma_t(x,\lambda) = \sum_{n \in \mathbb{N}} \Gamma_{n,t}(x,\lambda)$$

pour  $(x, \lambda) \in M \times \mathfrak{z}^*$ , avec pour tout  $n \in \mathbb{N}$ ,

$$\left(\partial_t - (n + \frac{d}{2})\mathcal{Z}^{(\lambda)}\right) \left(\Gamma_{n,t}(x,\lambda) d\gamma_t(x,\lambda)\right) = 0.$$

[Fermanian-Fischer 2019], [Fermanian-L. 2021]. On peut en déduire un résultat d'observabilité en temps fini. La non-observabilité en temps petit découle d'une construction de paquets d'ondes "non-commutatifs".

### Deuxième problème - Propagation des singularités

Étant donnée une solution u de l'équation des ondes, on dit qu'il y a une singularité au temps t au point q si u(t) n'est pas  $C^{\infty}$  en q.

Les singularités des ondes Euclidiennes se propagent selon des lignes droites à vitesse 1 (ou c pour  $\partial_t^2 - c^2 \Delta$ ) et se réfléchissent sur les bords.



C'est aussi le cas dans le cadre plus général des variétés Riemanniennes, d'après le théorème de Hörmander [Hörmander 1971] : les lignes droites sont alors remplacées par des géodesiques.

**Définition.** Le **front d'onde** d'une distribution *u* est l'ensemble des co-directions  $(x_0, \xi_0) \in T^*M \setminus 0$  où u n'est pas lisse. Plus précisément,

$$(x_0,\xi_0)\notin WF(u)\Leftrightarrow \exists A\in \Psi^0(M), \text{ elliptique en } (x_0,\xi_0), \text{ tel que } Au\in C^\infty(M).$$

**Théorème de Hörmander.** On considère l'EDP Pu = f. Si le symbole principal p de P est réel, alors  $WF(u) \setminus WF(f) \subset p^{-1}(0)$ , et  $WF(u) \setminus WF(f)$  est invariant par le flot engendré par le champ Hamiltonien  $\vec{p}$ . Aux points où ce champ s'annule, le théorème de Hörmander ne dit rien.

### Propagation des singularités - Cadre sous-elliptique

On considère  $P = \partial_t^2 - \Delta$  où  $\Delta$  est un sous-Laplacien. Alors

$$\left\{ \begin{array}{ll} p=0 \\ \vec{p}=0 \end{array} \right. \Leftrightarrow \left\{ \begin{array}{ll} -\tau^2+g^*=0 \\ -2\tau\partial_t+\vec{g^*}=0 \end{array} \right. \Leftrightarrow \tau=g^*=0.$$

Question. Comment se propagent les singularités dans  $\Sigma = \{g^* = 0\}$ ?

**Remarque.**  $\Sigma$  ne dépend en fait que de la distribution :  $\Sigma = \mathcal{D}^{\perp}$ .

**Remarque.** Dans  $\{g^* \neq 0\}$ , la propagation des singularités est décrite par le théorème de Hörmander.

Soit  $\omega_{\mathcal{D}^{\perp}}$  la restriction à  $\mathcal{D}^{\perp}$  de la forme symp. canonique sur  $T^*M$ . **Définition.** Un relevé anormal extrémal est une courbe absolument continue  $t \mapsto \lambda(t) \in \mathcal{D}^{\perp} \setminus 0$  qui satisfait  $\dot{\lambda}(t) \in \ker(\omega_{\mathcal{D}^{\perp}}(\lambda(t)))$  pour presque tout t. La projection de  $\lambda(t)$  sur M, qui est presque partout tangente à la distribution, est appelée courbe singulière.

#### Théorème ([Melrose 1986], [L. 2021])

Les singularités dans  $\Sigma = \mathcal{D}^{\perp}$  se propagent seulement le long des relevés anormaux extrémaux. Le support singulier se propage le long des courbes singulières à n'importe quelle vitesse choisie entre 0 et 1.

### Idée de preuve

**Qu'est-ce que la vitesse dans le théorème précédent?** Il y a une métrique g "sous-Riemannienne" associée aux champs  $X_j$ :

$$g_q(v) = \inf \left\{ \sum_{j=1}^m u_j^2, \quad v = \sum_{j=1}^m u_j X_j(q) \right\}.$$

La vitesse instantanée d'une courbe  $\gamma:I\to M$  tangente à  $\mathcal D$  est  $(g_{\gamma(t)}(\dot\gamma(t)))^{\frac12}.$ 

Idée de preuve. Comment dégénèrent les bicaractéristiques de p quand  $\tau^2=g^*\to 0$ ? En chaque point de  $\Sigma$ , elles dégénèrent en un cône convexe contenu dans  $(T\Sigma)^{\perp_\omega}$ . De plus, les singularités se propagent nécessairement dans  $T\Sigma$  (par préservation de  $\tau$  et  $g^*$ ). On conclut que les singularités se propagent dans

$$T\Sigma\cap (T\Sigma)^{\perp_{\omega}}=T\mathcal{D}^{\perp}\cap (T\mathcal{D}^{\perp})^{\perp_{\omega}}=\ker(\omega_{\mathcal{D}^{\perp}})$$

c'est-à-dire le long des relevés anormaux extrémaux.



Propagation des singularités dans les ondes avec sous-Laplacien de Heisenberg

#### Le cas Martinet

On considère l'équation des (demi-)ondes Martinet

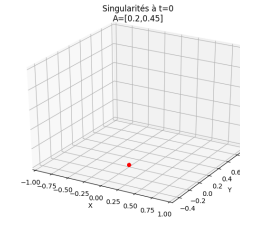
$$i\partial_t u - \sqrt{-\Delta}u = 0, \qquad \Delta = \partial_x^2 + (\partial_y + x^2 \partial_z)^2$$
 (2)

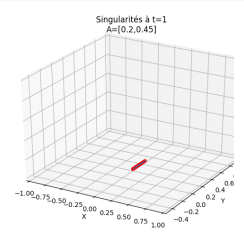
dans  $\mathbb{R}_t \times \mathbb{R}^3$ . La courbe  $y \mapsto (0, y, 0)$  est une courbe singulière. On a prouvé que les singularités de certaines solutions se propagent le long de cette courbe à des vitesses strictement comprises entre 0 et 1.

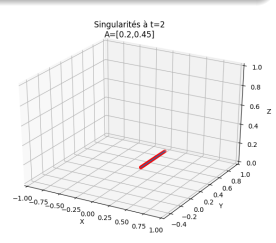
#### Théorème ([Colin de Verdière - L. 2021])

Pour toute union d'intervalles  $A\subset [0,1]$ , il existe u(t) une solution de (2) telle que

Supp Sing
$$(u(t)) = \{(0, y, 0) \in \mathbb{R}^3, y \in tA\}.$$







### 3ème problème - Fonctions propres hautes fréquences

Question. Comment l'énergie des fonctions propres d'un sous-Laplacien se répartit-elle sur la variété? NB : Les fonctions propres sont les "états stationnaires" de Schrödinger et des ondes.

À la différence de l'observabilité, il n'y a pas de propagation en temps.

On considère (pour ce slide) l'opérateur de **Laplace-Beltrami**  $\Delta$  sur une variété Riemannienne (M,g) sans bord. On suppose que M est compacte, et donc  $\Delta$  a une résolvante compacte.

On considère une suite de fonctions propres normalisées

$$-\Delta \psi_k = \lambda_k \psi_k, \qquad \lambda_k \to +\infty, \quad \|\psi_k\|_{L^2} = 1.$$

Notre objectif est d'obtenir des informations sur les fonctions propres  $\psi_k$ , dans la limite où  $\lambda_k \to +\infty$ . Par exemple, sur les limites faibles de la suite de mesures de probabilités  $|\psi_k|^2 d \text{vol}_{\sigma}$ .

**Exemple.** En courbure négative, il est conjecturé que les fonctions propres s'équirépartissent sur la variété (conjecture QUE de Rudnick-Sarnak).

Soit  $(u_k)_{k\in\mathbb{N}^*}$  une suite bornée de  $L^2(M)$ ,  $u_k \to 0$ . On dit qu'une mesure  $\nu$  sur  $S^*M$  est une **mesure de défaut microlocale** de cette suite Gérard 1991 si, à extraction près, pour tout symbole a d'ordre 0, on a

$$(\operatorname{Op}(a)u_k, u_k)_{L^2(M)} \underset{k \to +\infty}{\longrightarrow} \int_{S^*M} a \ d\nu.$$

Les mesures de défaut microlocales de suites de fonctions propres normalisées sont appelées limites quantiques (QL).

Fait. Les QL de l'opérateur de Laplace-Beltrami sont invariantes par le flot géodésique. Cela découle du calcul

$$0 = ([\operatorname{Op}(a), \sqrt{-\Delta}]\psi_k, \psi_k)_{L^2(M)} \underset{k \to +\infty}{\longrightarrow} \frac{1}{i} \int_{S^*M} \{a, \sqrt{g^*}\} d\nu.$$

Question. Dans le cas sous-Riemannien le flot géodésique est **stationnaire** dans certaines co-directions, celles où  $g^* = 0$ . Peut-on trouver d'autres propriétés d'invariance des QL dans ces co-directions?

#### Les QL dans le cas sous-Riemannien

**Théorème** ([Colin de Verdière-Hillairet-Trélat 2018]) : Les QL sont supportées dans  $S\Sigma$  ("à extraction d'une sous-suite de densité 1 de fonctions propres près"), c'est-à-dire là où le flot géodésique est stationnaire.

Théorème ([Colin de Verdière-Hillairet-Trélat 2018]) : Soit  $\Delta$  un sous-Laplacien de **contact 3D** et  $(\psi_k)_{k\in\mathbb{N}}$  une suite de fonctions propres normalisées de  $-\Delta$  avec valeur propre  $\lambda_k\to+\infty$ . Toute QL  $\nu$  de  $(\psi_k)_{k\in\mathbb{N}}$  se décompose sous la forme  $\nu=\nu_0+\nu_\infty$  où

- $\nu_0$  "dans la partie elliptique" est invariante par le flot géodésique sous-Riemannien.
- $\nu_{\infty}$  est supportée dans  $S\Sigma$  et est invariante par le relevé dans  $S\Sigma$  du flot de Reeb.

Question. Quelles propriétés d'invariance les QL vérifient-elles dans le cône caractéristique en général? Notamment quand il y a des anormales?

### Sommes de sous-Laplaciens de Heisenberg

On considère le sous-Laplacien

$$\partial_{x_1}^2 + (\partial_{y_1} - x_1 \partial_{z_1})^2 + \ldots + \partial_{x_m}^2 + (\partial_{y_m} - x_m \partial_{z_m})^2$$

comme opérateur sur une variété compacte (produit de quotients à gauche du groupe de Heisenberg).

**Résultat.** On caractérise entièrement les QL supportées dans  $S\Sigma$ , à l'aide d'une infinité de dynamiques qui remplacent le flot de Reeb. Le sous-Laplacien se réécrit

$$-\Delta = R_1\Omega_1 + \ldots + R_m\Omega_m$$

où  $R_i, \Omega_i \in \Psi^1(M)$  (dans des cônes),  $R_i = |\partial_{z_i}|$ ,  $\Omega_i$  oscillateur harmonique de valeurs propres 2n + 1, et tous ces opérateurs commutent.

On travaille sur les sous-espaces propres joints des  $\Omega_i$ : on obtient une famille d'opérateurs  $\sum_{i=1}^m (2n_i+1)R_i$ , puis en prenant le symbole principal une famille de Hamiltoniens sur  $\Sigma$  homogènes de degré 1

$$\rho_s = \sum_{i=1}^m s_i |\zeta_i|$$

normalisés en prenant  $s_1 + \ldots + s_m = 1$  (on note  $s = (s_i)_{1 \le i \le m} \in \mathbf{S}$ ).

### QL des sommes de sous-Laplaciens de Heisenberg

#### Théorème ([L. 2020])

Soit  $\nu$  une limite quantique telle que supp  $\nu \subset S\Sigma$ . Alors on peut écrire

$$\nu = \int_{\mathbf{S}} \nu_s \, dQ(s) \tag{3}$$

οù

- dQ est une mesure de Radon positive sur le simplexe S
- les  $(\nu_s)_{s \in S}$  sont des mesures de probabilité supportées dans  $S\Sigma$  telles que pour Q-presque tout  $s \in S$ ,  $\nu_s$  est invariante par le flot  $e^{t\vec{\rho}_s}$ .

La réciproque est vraie : toute mesure de probabilité  $\nu$  sur  $S\Sigma$  qui s'écrit (3) (avec la propriété d'invariance) est une limite quantique.

( $\sim$  sphère Riemannienne, oscillateur harmonique).

### Questions ouvertes

Il y a de nombreuses questions ouvertes : décrire les **limites quantiques** dans d'autres modèles sous-elliptiques, calculer la taille des **ensembles nodaux** des fonctions propres de sous-Laplaciens (analogue de la conjecture de Yau et du théorème de Donnelly-Fefferman), . . .

Les deux problèmes les plus importants et les plus difficiles à mon avis sont les suivants :

- Comprendre à quoi ressemble une paramétrixe d'une équation des ondes sous-elliptique quand il y a des anormales (par exemple dans le cas Martinet). C'est une clé pour les asymptotiques de la chaleur, les formules de trace, ou pour comprendre encore mieux la propagation des singularités.
- Illustrer avec une expérience physique l'importance des anormales, par exemple le ralentissement de la propagation (électrons dans un champ magnétique).

"La difficulté de réussir ne fait qu'ajouter à la nécessité d'entreprendre."

Beaumarchais